

表 2 振動数・振動数率

伏試体名	載荷前		ひびわれ荷重時		設計荷重時		鉄筋降伏荷重時		終局荷重時	
	振動数	振動数率	振動数	振動数率	振動数	振動数率	振動数	振動数率	振動数	振動数率
I-1	11.0 ²	100%	8.4 ¹²	76%	7.6 ¹²	69%	6.6 ¹²	60%	5.6 ¹²	51%
I-11	(11.0)	(100)	8.4	76	7.2	65	6.5	59	4.8	44
V-1	7.6	100	7.5	99	5.2	68	4.2	55	4.0	53
V-11	7.1	100	5.3	75	4.3	61	3.5	49	2.7	38

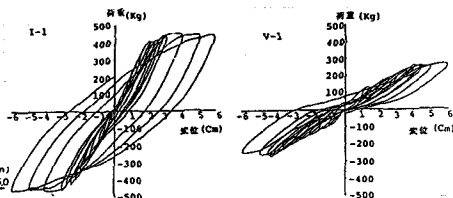


図 4 荷重-変位曲線

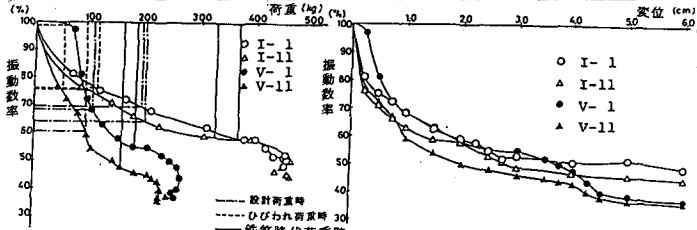


図 5 振動数の変化

終局荷重履歴後の振動数および、振動数率を示す。表2より、ひびわれ荷重時で振動数は25%低下して、始めの75%になり、設計荷重では70~60%に低下し、鉄筋降伏時で60~50%にまで低下する。そして終局荷重では始めの50~40%にまで振動数が低下する。

次に図6は、図5の横軸をそれぞれ最大荷重を100%として荷重を表したもの、および鉄筋の降伏時変位を1.0として変位を表し、振動数の変化を示したものである。図6より、設計荷重(最大荷重の40%)付近において方向による違いが、振動数低下の傾きの差とな、て現われている。さらに履歴回数による振動数の違いは、設計荷重以後で11回履歴の方が1回履歴より、小さな振動数となることを示している。

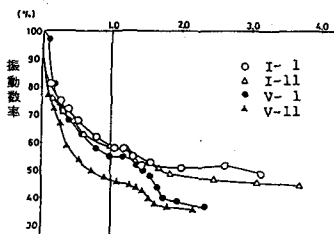
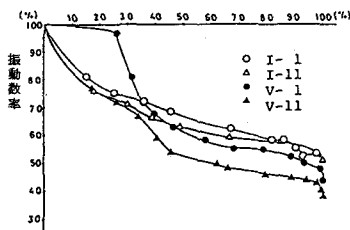


図 6 振動数の変化

(2)減衰定数に対する検討

図7に減衰定数の変化を示す。図7は、横軸に荷重および水平変位をとり、縦軸にはいずれも減衰定数の変化をとったものである。図7より、減衰定数はひびわれ発生後増加の傾向をたどりある点(I方向の場合は鉄筋降伏時、V方向では最大荷重時前後の点)で最大値を示し、その後減少し一定の値に近づく傾向を示すことがわかる。また図7より、I方向・V方向とも履歴を受けていない場合の減衰定数は、0.76~1.20(平均0.97)である。(ただし、I-11は、載荷前にひびわれが認められていたので除いた。)その後ひびわれ発生によって、I方向では2~3.75%の間で、V方向では3~5.5%の間で変化し、最大値およびその時の荷重レベルにおいて違いが見られた。しかし、履歴回数の違いによる影響は、それほど顕著にはみられなかった。

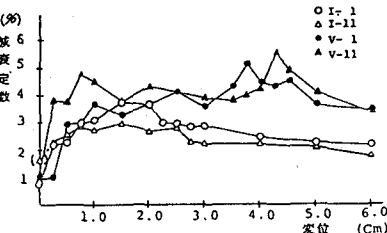
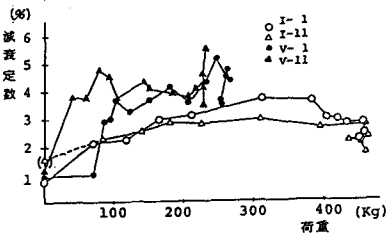


図 7 減衰定数の変化

4. まとめ

供試体が少ないため、振動数と減衰定数の定量化は困難であるが、振動数とモデルの損傷の間に、定性的な関係が見られた。減衰定数については履歴の影響は明確化できなかった。今後更に、多くの供試体について実験を行ない、定量化するとともに種々のパラメータについても検討する必要がある。なお実験の遂行に当り、御協力頂いた林克己技師に感謝の意を表します。